

УДК 519.6

ЧИСЛЕННЫЙ МЕТОД РЕШЕНИЯ ЗАДАЧ СТЕФАНА

В. А. Сычевский

Институт тепло- и массообмена им. А. В. Лыкова НАН Беларуси, Беларусь

Введение. Известно, что такие процессы как сушка, кристаллизация, сублимация являются основными процессами химической технологии и широко используются в разнообразных промышленных аппаратах [1]. Процессы тепло- и массопереноса с фазовыми переходами играют важную роль в геокриологии [2], испарительном охлаждении [3], при разработке технологических процессов сушки влажных материалов, в том числе и сублимационной сушки [4]. Замораживание органических объектов актуально в сельском хозяйстве, где остра проблема воздействия низких температур в зимний период и во время заморозков на посевы, многолетние растения и готовый урожай. Все перечисленные здесь проблемы с математической точки зрения относятся к задачам Стефана.

Наиболее общие и широко используемые численные методы решения задачи Стефана можно разделить на два класса: численные схемы с выделением границы раздела фаз, где граница раздела отслеживается на каждом шаге по времени; методы сквозного счета, в которых используется обобщенная формулировка задачи Стефана. В работах [5, 6] развивается неявная схема с ловлей фронта в узел разностной сетки. В исследуемой области вводится пространственная сетка с постоянным шагом и временная с переменным. При этом шаг по времени выбирается так, чтобы граница фазового перехода переместилась из данного узла в ближайший следующий узел пространственной сетки. Для нахождения искомой величины (например, температуры) и временного шага применяются итерационные процедуры решения нелинейных алгебраических уравнений. В публикации [7] разрабатывается метод выпрямления фронта, суть которого состоит в том, что производится такая замена независимых переменных, что рассматриваемая область пространства переходит в фиксированную прямоугольную область, а граница фазового перехода совпадает с фиксированной координатной линией. Построенную краевую задачу для фиксированной расчетной области в новых независимых переменных решают, используя стандартные разностные методы.

В работах [8, 9] предлагаются схемы сквозного счета задачи Стефана. Применяя δ -функцию, уравнения теплопроводности с условиями Стефана преобразуются к одному нелинейному уравнению. Следует учитывать, что коэффициенты теплопроводности и теплоемкости при таком описании терпят разрыв. Выделение тепла при фазовом переходе аналогично добавлению некоторой теплоемкости на границе фазового перехода. Для решения применяется метод сглаживания. С этой целью δ -функцию заменяют функцией, которая отлична от нуля лишь внутри некоторого интервала. Сглаживая на интервале коэффициенты теплоемкости и теплопроводности, получают уравнение со сглаженными коэффициентами. Для решения таких уравнений применяют стандартные разностные схемы, приведенные в работах [9, 10]. При этом граница фазового перехода явно не выделяется и не используется в разработке численного метода.

Методика расчета задачи Стефана. Методику расчета изложим на примере промерзания влагонасыщенной среды. Воспользуемся методом контрольного объема, суть которого применительно к тепловой задаче заключается в строгом выполнении

закона сохранения тепловой энергии в каждом из объемов, которыми разбивается вся исследуемая область. На основе метода контрольного объема разностный аналог уравнения теплопроводности можно записать в следующем виде:

$$(cp)_i \frac{T_i^{k+1} - T_i^k}{\Delta t} = \frac{1}{x_{i+1/2} - x_{i-1/2}} \left(\lambda_{i+1/2} \frac{T_{i+1} - T_i}{x_{i+1} - x_i} - \lambda_{i-1/2} \frac{T_i - T_{i-1}}{x_i - x_{i-1}} \right), \quad (1)$$

где $x_{i+1/2} = \frac{x_i + x_{i+1}}{2}$, $x_{i-1/2} = \frac{x_{i-1} + x_i}{2}$, а $\lambda_{i+1/2} = \lambda \left(\frac{x_i + x_{i+1}}{2} \right)$ и $\lambda_{i-1/2} = \lambda \left(\frac{x_{i-1} + x_i}{2} \right)$ — теплопроводность материала соответственно в точках $x_{i+1/2}$ и $x_{i-1/2}$.

Основная идея предлагаемого способа заключается в том, что вместо математической поверхности, на которой осуществляется фазовый переход, мы принимаем, что фазовый переход происходит в контрольном объеме при достижении его узлом температуры фазового перехода T_ϕ . Запишем разностный аналог условия Стефана, переходя от математической поверхности к малому, но конечному объему

$$\lambda_1 \frac{T_\phi - T_{i-1}}{x_i - x_{i-1}} - \lambda_2 \frac{T_{i+1} - T_\phi}{x_{i+1} - x_i} = \frac{1}{S} \frac{|\Delta m|}{\Delta t} Q_\phi. \quad (2)$$

Здесь S – площадь поперечного сечения, 1 – мерзлая зона, 2 – талая зона. В формуле (2) количество тепла, отводимое от контрольного объема, компенсируется подводимым теплом и теплом фазового перехода воды в лед. Расчет массы жидкости, перешедшей в лед на временном шаге Δt , осуществляем по формуле

$$\Delta m = \left(\lambda_1 \frac{T_\phi - T_{i-1}}{x_i - x_{i-1}} - \lambda_2 \frac{T_{i+1} - T_\phi}{x_{i+1} - x_i} \right) \frac{S \Delta t}{Q_\phi}. \quad (3)$$

При этом температура контрольного объема сохраняется постоянной и равной температуре фазового перехода T_ϕ . Полученное количество замерзшей массы жидкости Δm вычитается из массы воды в объеме и добавляется к массе льда. Так продолжается до тех пор пока вся жидкость в контрольном объеме не перейдет в лед. После этого осуществляем смену агрегатного состояния рассматриваемого объема и зону фазового перехода смещаем к следующему объему. Это дает нам информацию о местоположении и скорости фронта кристаллизации. Ясно, что при уменьшении размеров контрольных объемов и шага по времени точность вычислений будет увеличиваться.

В результате дискретности численной схемы имеются некоторые дополнительные особенности ее реализации. Так, температура T в узлах контрольных объемов от шага к шагу по времени меняется скачками и следовательно может стать ниже температуры фазового перехода T_ϕ даже раньше, чем начнется сам процесс перехода воды в лед. Чтобы этого не происходило, корректировка расчетной схемы производится следующим образом. Температуру элемента задаем равной T_ϕ , а разность температур $(T_\phi - T)$ компенсируем теплотой фазового перехода воды в лед. При этом количество замороженной жидкости рассчитываем по формуле

$$\Delta m = \frac{c_v m_v (T_\phi - T)}{Q_\phi}. \quad (4)$$

Здесь c_v – удельная теплоемкость воды Дж/(кг·К); m_v – масса воды в контрольном объеме, кг. В конце процесса вымораживания жидкости в элементе может оказаться, что масса вымерзшей воды Δm , рассчитанная по формуле (3), будет больше, чем реально ее осталось. Это означает, что количество тепла, представляющее собой

разность подводимой и отводимой теплоты от контрольного объема, превосходит количество тепла фазового перехода в оставшейся жидкости. Чтобы избежать такую ситуацию излишек отведенного тепла покрывается за счет охлаждения образовавшегося в объеме льда ниже температуры фазового перехода T_ϕ

$$T_i = T_\phi - \left(\lambda_b \frac{T_\phi - T_{i-1}}{x_i - x_{i-1}} - \lambda_n \frac{T_{i+1} - T_\phi}{x_{i+1} - x_i} \right) \frac{S \Delta t}{c_l m_l} + \frac{\Delta m_b Q_\phi}{c_l m_l}. \quad (5)$$

Здесь c_l – удельная теплоемкость льда Дж/(кг·К); m_l – масса льда в контрольном объеме, кг, Δm_b – масса оставшейся жидкости, кг.

Разработанный метод протестирован на серии задач, решение которых можно

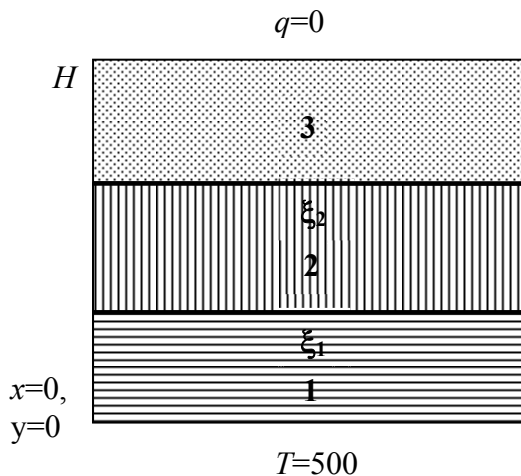


Рис. 1. Геометрическая схема задачи термического разложения

получить развитыми ранее методами. В частности, для проверки использовались аналитические методы, описанные в работе [11], а также численные методы, представленные в работах [12, 13]. Сравнение тестовых расчетов температурного поля с эталонными методами показало высокую точность представленного метода. Достоверность результатов получаемых предлагаемым способом рассмотрена в работе [14], где сравнивались расчетные и натурные данные, полученные на трех опытных площадках. Как указывается в работе [14] расчетные и экспериментальные данные находятся в удовлетворительном соответствии.

Термолиз измельченной резины. Изучим процесс термического разложения измельченных резиновых отходов в среде перегретого водяного пара, продуваемого с постоянной скоростью \vec{v} [15]. На рис. 1 представлена геометрическая схема задачи. Зона 1 представляет собой засыпку из твердых продуктов разложения, 2 – зона частиц из резины с температурой выше 100 °С, 3 – частицы вместе с конденсирующейся на них водой, ξ_1 – граница фазового перехода резина – газообразные продукты разложения, ξ_2 – граница фазового перехода вода – пар.

В начальный период, когда засыпка прогревается до температуры 100 °С, используется уравнение

$$[(1-\varepsilon)(c\rho)_{ш} + \varepsilon(c\rho)_n] \frac{\partial T}{\partial t} = \text{div}(\lambda_{ш \text{эф}} \text{grad} T) - \frac{c_n \rho_n \vec{v}}{\varepsilon} \text{grad} T - \frac{Q_b \vec{v}}{\varepsilon} \text{grad} \rho_n \quad (6)$$

со следующими граничными условиями:

$$T|_{x=0} = 500 \text{ °С}, \quad T|_{x=H} = 0. \quad (7)$$

Предполагается, что тепловые потоки через боковые поверхности отсутствуют. Эти граничные условия сохраняются для всего процесса термолиза. Когда с поверхностей частиц на границе фазового перехода в засыпке идет испарение воды, уравнение теплопроводности имеет вид

$$[(1-\varepsilon)(c\rho)_{ш} + \varepsilon(c\rho)_n] \frac{\partial T_2}{\partial t} = \text{div}(\lambda_{ш \text{эф}} \text{grad} T_2) - \frac{c_n \rho_n \vec{v}}{\varepsilon} \text{grad} T_2, \quad (8)$$

а условие Стефана на границе фазового перехода запишем

$$\lambda_{\text{ш}\varepsilon\text{ф}} \frac{\partial T_3}{\partial x} - \lambda_{\text{ш}\varepsilon\text{ф}} \frac{\partial T_2}{\partial x} - (\rho v c)_n (T_3(M + \Delta h) - T_2(M - \Delta h)) = v_{\text{в}} \varepsilon \rho_{\text{в}} Q_{\text{в}} \frac{\partial \xi_2}{\partial t}, \quad T_2|_{\xi_2} = T_3|_{\xi_2} = T_{\text{в}}. \quad (9)$$

При прогреве засыпки выше температуры деструкции $T_{\text{д}}$ необходимо решать следующую систему:

$$[(1-\varepsilon)(c\rho)_y + \varepsilon(c\rho)_n] \frac{\partial T_1}{\partial t} = \text{div}(\lambda_{y\varepsilon\text{ф}} \text{grad} T_1) - \frac{c_n \rho_n \bar{v}}{\varepsilon} \text{grad} T_1, \quad 0 < x < \xi_1(t); \quad (10)$$

$$[(1-\varepsilon)(c\rho)_{\text{ш}} + \varepsilon(c\rho)_n] \frac{\partial T_2}{\partial t} = \text{div}(\lambda_{\text{ш}\varepsilon\text{ф}} \text{grad} T_2) - \frac{c_n \rho_n \bar{v}}{\varepsilon} \text{grad} T_2, \quad \xi_1(\tau) < x < \xi_2(t); \quad (11)$$

$$[(1-\varepsilon)(c\rho)_{\text{ш}} + \varepsilon(c\rho)_n] \frac{\partial T_3}{\partial t} = \text{div}(\lambda_{\text{ш}\varepsilon\text{ф}} \text{grad} T_3) - \frac{c_n \rho_n \bar{v}}{\varepsilon} \text{grad} T_3 - \frac{Q_{\text{в}} \bar{v}}{\varepsilon} \text{grad} \rho_n, \quad \xi_2(t) < x < L. \quad (12)$$

На границе фазового перехода резина – газообразные продукты разложения имеем

$$\lambda_{\text{ш}\varepsilon\text{ф}} \frac{\partial T_2}{\partial x} - \lambda_{y\varepsilon\text{ф}} \frac{\partial T_1}{\partial x} - (\rho v c)_n (T_2(M + \Delta h) - T_1(M - \Delta h)) = v_{\text{ш}} (1-\varepsilon) \rho_{\text{ш}} Q_{\text{ф}} \frac{\partial \xi_1}{\partial t}, \quad T_1|_{\xi_1} = T_2|_{\xi_1} = T_{\text{д}}, \quad (13)$$

а на границе вода – пар – (9).

Рассматриваемая задача решается численным методом, представленным выше, используя локально-одномерную схему, при этом осуществляется расщепление задачи по пространственным переменным. Методика позволяет одновременно учитывать фазовые переходы резина – газообразные продукты разложения и вода – пар. Некоторые результаты расчетов представлены на рис. 2.

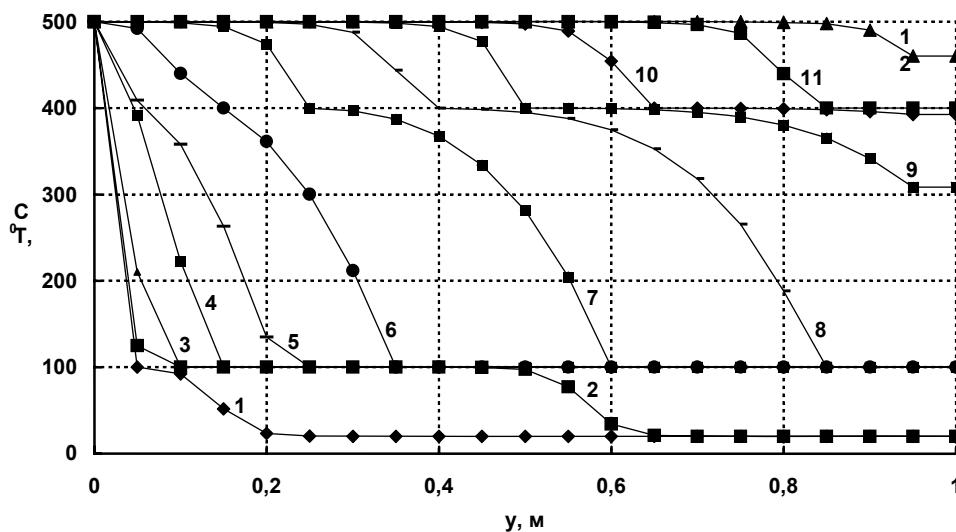


Рис. 2. Распределение температуры в засыпке резиновых отходов в зависимости от времени: при термическом разложении и фазовых переходах вода-пар: 1 – $t = 1$ мин; 2 – 5; 3 – 10; 4 – 30; 5 – 60; 6 – 120; 7 – 240; 8 – 360; 9 – 480; 10 – 600; 11 – 780; 12 – 931

На рис. 2 отражено характерное распределение температуры в засыпке для разных моментов времени при наличии фазовых переходов резина – газ и вода – пар. Распределение температуры имеет сложный характер. На кривых видны две точки излома, соответствующие фазовым переходам. Из анализа полученных результатов следует, что основной причиной прогрева засыпки до 100°C является конденсация пара. Совершенно по иному происходит нагревание засыпки до 100°C в отсутствие

фазовых переходов. Основными механизмами нагревания в этом случае являются теплопроводность и конвекция, они приводят к более медленному прогреванию.

Таблица. Расчетные и экспериментальные данные по термолизу резины

Параметры процесса	Расчетные данные	Экспериментальные значения
Время термолиза, с	55860	48480
Время увлажнения отходов, с	660	627
Количество конденсирующегося пара, кг/кг	0,102	0,096
Расход пара, кг/с·м ²	0,036	0,031

Для оценки правомерности принятой модели расчета, обоснованности предположений и допущений в работе [16] приведены результаты сравнения расчетных и экспериментальных данных по термолизу резиновой крошки. В ходе экспериментов регистрировались такие параметры процесса термолиза дисперсных резиновых отходов в паровой среде как температура, расход пара, скорость движения фронта фазового перехода (конденсация пара, термическое разложение), количество выпадающего конденсата, время завершения процесса термолиза. В таблице приведено сравнение расчетных и экспериментальных данных термолиза резиновой крошки в среде перегретого водяного пара. Как следует из таблицы согласование результатов хорошее, что подтверждает правомерность принятых при расчетах допущений и предположений.

Сублимация льда из пористого элемента в вакуум. Рассмотрим материал, представляющий собой пористый цилиндр из никеля (рис. 3). В сублимационный зазор ($0 < r < L$) под давлением подается жидкость, которая через внутреннюю границу $r=L$

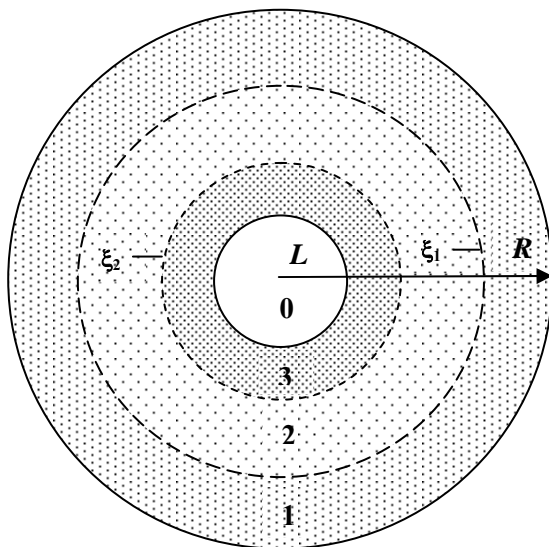


Рис. 3. Геометрическая схема задачи: 1, 2, 3 – зоны пара, льда и воды в пористом элементе соответственно

пористого элемента под действием фильтрационного и капиллярного давлений перемещается к внешней поверхности цилиндра, соприкасающейся с вакуумом [17]. В результате испарения жидкости и радиационного отвода тепла пористый элемент охлаждается и жидкость замерзает, образуя прослойку льда в порах. Предполагая, что по длине цилиндра граничные условия одинаковы, будем считать процесс тепло- и массопереноса в пористом цилиндре одномерным. На внутреннюю поверхность $r=L$ подается тепловой поток, который, проходя через пористую стенку, заполненную жидкостью и льдом, частично расходуется на плавление и сублимацию (испарение), а частично отводится излучением с поверхности материала в вакуум. Таким образом, в соответствии с общей картиной процесса тепло- и массопереноса считаем, что в

пористом элементе сосуществуют три фазы и происходят фазовые превращения лед–пар и лед–жидкость, границы которых $r=\xi_1(t)$ и $r=\xi_2(t)$ находятся в движении.

Рассмотрим систему дифференциальных уравнений, описывающих задачу типа Стефана с двумя фронтами фазовых переходов

$$(1-\varepsilon)(\rho c)_c \frac{\partial T_1}{\partial t} = \lambda_{\text{эф1}} \left(\frac{\partial^2 T_1}{\partial r^2} + \frac{1}{r} \frac{\partial T_1}{\partial r} \right); \quad \xi_1(t) < r < R; \quad (14)$$

$$[\varepsilon(\rho c)_n + (1-\varepsilon)(\rho c)_c] \frac{\partial T_2}{\partial t} = \lambda_{\text{эф2}} \left(\frac{\partial^2 T_2}{\partial r^2} + \frac{1}{r} \frac{\partial T_2}{\partial r} \right); \quad \xi_2(t) < r < \xi_1(t); \quad (15)$$

$$[\varepsilon(\rho c)_b + (1-\varepsilon)(\rho c)_c] \frac{\partial T_3}{\partial t} = \lambda_{\text{эф2}} \left(\frac{\partial^2 T_3}{\partial r^2} + \frac{1}{r} \frac{\partial T_3}{\partial r} \right); \quad L < r < \xi_2(t). \quad (16)$$

Граничные условия:

$$-\lambda_{\text{эф2}} \frac{\partial T_2}{\partial r} \Big|_{\xi_1} + \lambda_{\text{эф1}} \frac{\partial T_1}{\partial r} \Big|_{\xi_1} = -\varepsilon \rho_n Q_1 \frac{d\xi_1}{dt}; \quad \left(\frac{d\xi_1}{dt} < 0 \right); \quad (17)$$

$$T_1 \Big|_{r=\xi_1} = T_2 \Big|_{r=\xi_2} = T_*(t), \quad (18)$$

$$\rho_n \frac{d\xi_1}{dt} = \frac{\rho_n(T_*) \sqrt{kT_*/2\pi m}}{1 + \xi_1/d} \equiv j_n, \quad (19)$$

$$-\lambda_{\text{эф3}} \frac{\partial T_3}{\partial r} \Big|_{\xi_2} + \lambda_{\text{эф2}} \frac{\partial T_2}{\partial r} \Big|_{\xi_2} = \varepsilon \rho_b Q_\phi \frac{d\xi_2}{dt}, \quad (20)$$

$$T_2 \Big|_{r=\xi_2} = T_3 \Big|_{r=\xi_2} = T_\phi, \quad (21)$$

$$-\lambda_{\text{эф3}} \frac{\partial T_3}{\partial r} \Big|_{L} = q. \quad (22)$$

Соотношения (17), (18) есть условия Стефана для фазового перехода лед–пар (сублимация льда), при этом температура на фазовой поверхности неизвестна и должна определяться в процессе решения задачи. Выражения (20), (21) являются условиями Стефана для фазового перехода вода–лед (кристаллизация, плавление), однако здесь температура на границе фазового перехода известна и равна T_ϕ . Уравнение (19), взятое из [18], заменяет уравнение массопереноса пара в зоне 1, связывает неизвестную температуру T_* со скоростью сублимации и отражает наличие сопротивления движению пара при заглублинии фронта сублимации. При заглублинном фронте сублимации $r=\xi_1(t)$ с внешней поверхности пористого материала происходит отток тепла с помощью излучения, что позволяет записать граничное условие при $r=R$ как

$$-\lambda_{\text{эф1}} \frac{\partial T_1}{\partial r} \Big|_R = (1-\varepsilon) \varepsilon^* \sigma T^4 \Big|_R. \quad (23)$$

Когда пористый элемент заполнен жидкостью и происходит ее испарение с поверхности, граничное условие имеет следующий вид:

$$-\lambda_{\text{эф3}} \frac{\partial T_3}{\partial r} \Big|_R = (1-\varepsilon) \varepsilon^* \sigma T^4 \Big|_R + \varepsilon \rho_n(T_R) Q_b \sqrt{\frac{kT \Big|_R}{2\pi m}}. \quad (24)$$

При замерзании воды, будет происходить сублимация льда с поверхности и можно написать следующее граничное условие:

$$-\lambda_{\text{эф2}} \frac{\partial T_2}{\partial r} \Big|_R = (1 - \varepsilon) \varepsilon^* \sigma T^4 \Big|_R + \varepsilon \rho_{\text{п}}(T_R) Q_1 \sqrt{\frac{kT \Big|_R}{2\pi m}} \quad (25)$$

Начальные условия

$$\tau = 0, \xi_1(0) = \xi_2(0) = 0, T = 274 \text{ К.} \quad (26)$$

Данная задача решается численным методом, описанным выше. Используется явная схема расчета. Разработанная методика позволяет одновременно учитывать фазовые переходы жидкость–лед, лед–пар и вода – пар и получать решения при неизвестной температуре на границе лед–пар.

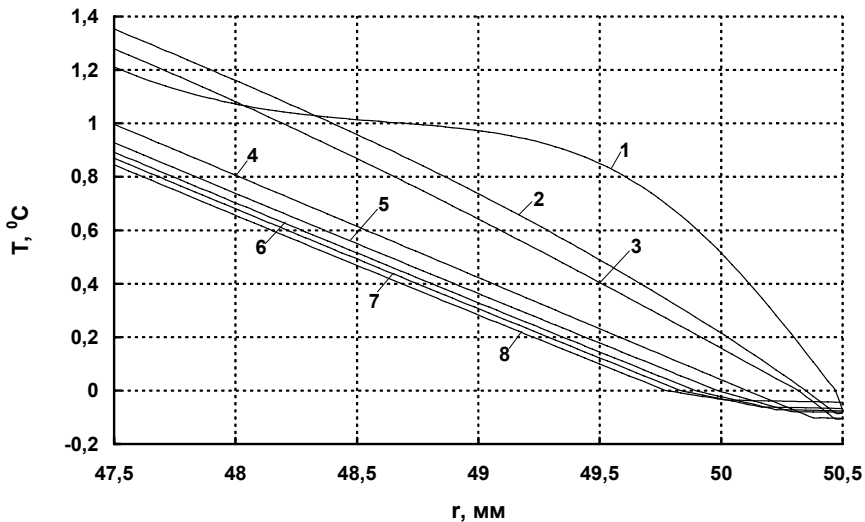


Рис. 4. Распределение температуры по толщине пористого элемента для различных времен, включая кристаллизацию на фронте вода–лед, при $Q_{\text{т.н}} = 250 \text{ Вт}$: 1 – $t = 0.1 \text{ с}$; 2 – 0.5; 3 – 1; 4 – 5; 5 – 10; 6 – 15; 7 – 20; 8 – 38.

На рис. 4 представлено типичное распределение температуры по толщине пористого элемента в различные моменты времени. Видны три зоны, отделяемые двумя точками излома. Эти точки являются поверхностями фазовых переходов лед–пар и вода–лед. Первая (см. рис. 3) зона представляет собой пористую структуру, заполненную паром, вторая зона заполнена льдом, а третья – водой.

На основе проведенных численных экспериментов была установлена следующая типичная картина процесса охлаждения. В начальный момент предполагаем, что пористая пластина полностью заполнена водой и с ее поверхности происходит испарение жидкости в вакуум. Принимаем, что по мере испарения влага успевает подойти из внутренних слоев элемента к поверхности за счет капиллярных сил и перепада давления, поддерживаемого в системе. В результате поверхность охлаждается очень интенсивно и в некоторый момент, достигнув $0 \text{ }^\circ\text{C}$, верхний слой замерзает. Вода оказывается отделенной от вакуума слоем льда. С этого момента начинается сублимация льда и фронт лед–пар постепенно заглубляется внутрь пористого элемента. Одновременно с этим движется фронт кристаллизации жидкость–лед. Этот фронт, как показывают численные расчеты, движется быстрее поверхности сублимации. Прослойка льда увеличивается. Так продолжается до тех пор, пока поток поступающего тепла меньше потока тепла, удаляемого в вакуум. Однако в результате заглубления фронта сублимации увеличивается сопротивление пористого материала отводу пара, что приводит к снижению интенсивности сублимации. В определенный момент устанавливается равенство потоков тепла, подводимого к элементу и

отводимого в вакуум. В этот момент фронт кристаллизации останавливается, прослойка льда перестает расти и устанавливается временное равновесие. Однако фронт сублимации продолжает заглубляться, что приводит к дальнейшему снижению интенсивности отвода тепла и началу обратного процесса плавления прослойки льда. Фронт плавления начинает подниматься к внешней поверхности пористой структуры. В результате прослойка льда уменьшается за счет двух факторов: плавления льда снизу и его сублимации сверху. Так продолжается до тех пор, пока ледяная прослойка совсем не исчезнет. В действительности, однако, она может не исчезнуть полностью, но, достигнув некоторого критического размера, продавливается фильтрационным давлением. После этого жидкость начинает быстро подниматься к поверхности пористого элемента. С момента достижения верхней границы весь описанный цикл сублимационного охлаждения начинается заново.

Напряжения и деформации в сферической области при ее промерзании. Для изучения напряжений, деформаций и трещин во влажном материале при его замораживании рассмотрим процесс промерзания жидкости, заключенной в сферическую оболочку, которая представляет собой конгломерат льда и структурирующей основы (материала) [19]. Опишем напряженно-деформированное состояние системы вода–лед. Предположим, что механические процессы проходят намного быстрее тепловых и система всегда успевает отреагировать на изменения температуры в ней. Поэтому принимаем, что система находится в статическом равновесии, а следовательно, механическая задача с учетом сферической симметрии примет вид [20]

$$\frac{\partial}{\partial r} \left(\frac{1}{r^2} \frac{\partial r^2 u}{\partial r} \right) = 0. \quad (27)$$

Граничные условия для ледяной прослойки в случае, когда на внутренней поверхности внешней оболочки приложено давление $P_{вн}$, будут

$$r = r_{вн} : \sigma_{rr} = P_{вн}; \quad r = r_{л0} : \sigma_{rr} = P_v. \quad (28)$$

Компоненты тензора напряжений определяются выражениями

$$\sigma_{rr} = -\frac{P_v r_{л0}^3 - P_{вн} r_{вн}^3}{r_{вн}^3 - r_{л0}^3} + \frac{(P_v - P_{вн}) r_{л0}^3 r_{вн}^3}{r_{вн}^3 - r_{л0}^3} \frac{1}{r^3}, \quad (29)$$

$$\sigma_{\theta\theta} = \sigma_{\varphi\varphi} = -\frac{P_v r_{л0}^3 - P_{вн} r_{вн}^3}{r_{вн}^3 - r_{л0}^3} - \frac{(P_v - P_{вн})}{2} \frac{r_{л0}^3 r_{вн}^3}{r_{вн}^3 - r_{л0}^3} \frac{1}{r^3}. \quad (30)$$

Зная P_v , $r_{в0}$ и $r_{л0}$, находят величины тензоров деформаций и напряжений в любой точке r как ледяной прослойки, так и водяного шара. Давление P_v рассчитывается по формуле

$$P_v = -\frac{(r_{в0} - r_{л0}) - \frac{3}{2}(1-\nu) \frac{P_{вн} r_{вн}^3 r_{л0}}{E_l (r_{вн}^3 - r_{л0}^3)}}{\frac{1-2\nu}{E_l} \frac{r_{л0}^4}{r_{вн}^3 - r_{л0}^3} + \frac{1+\nu}{2E_l} \frac{r_{л0} r_{вн}^3}{r_{вн}^3 - r_{л0}^3} + \frac{1}{3} \frac{r_{в0}}{K_v}}. \quad (31)$$

Величина $r_{в0}$ соответствует зоне фазового перехода вода–лед (r_{ϕ}) при решении задачи Стефана и находится по формуле

$$r_{\text{в}0} = r_{\text{ф}} = \sqrt[3]{\frac{\frac{4}{3}\pi r_{\text{вн}}^3 \rho_{\text{в}} - M_{\text{л}}}{\frac{4}{3}\pi \rho_{\text{в}}}}. \quad (32)$$

Значение $r_{\text{л}0}$ определяем из выражения

$$r_{\text{л}0} = \sqrt[3]{\left(1 - \frac{\rho_{\text{в}}}{\rho_{\text{л}}}\right) r_{\text{вн}}^3 + \frac{\rho_{\text{в}}}{\rho_{\text{л}}} r_{\text{в}0}^3}. \quad (33)$$

Уравнение теплопроводности для сферически симметричного случая имеет вид

$$c\rho \frac{\partial T}{\partial t} = \frac{1}{r^2} \frac{\partial}{\partial r} \left(\lambda r^2 \frac{\partial T}{\partial r} \right). \quad (34)$$

Условие Стефана на границе фазового перехода вода–лед запишем как

$$\lambda_{\text{в}} \frac{\partial T_{\text{в}}}{\partial r} \Big|_{r=r_{\text{ф}}} - \lambda_{\text{л}} \frac{\partial T_{\text{л}}}{\partial r} \Big|_{r=r_{\text{ф}}} = -\rho_{\text{в}} \frac{dr_{\text{ф}}}{dt} Q_{\text{ф}}, \quad \left(\frac{dr_{\text{ф}}}{dt} < 0 \right). \quad (35)$$

Основным уравнением, которое описывает фазовый переход вода – лед, является уравнение Клапейрона–Клаузиуса [21, 22]. Однако выразить зависимость температуры фазового перехода от давления в широком диапазоне температуры точной аналитической функцией сложно вследствие зависимости теплоты фазового перехода от температуры. Поэтому для дальнейших расчетов используется эмпирическая формула, приведенная в работе [23]. В нашем случае температура фазового перехода $T_{\text{ф}}$ зависит от давления в жидкости

$$T_{\text{в}} \Big|_{r=r_{\text{ф}}} = T_{\text{л}} \Big|_{r=r_{\text{ф}}} = T_{\text{ф}}(P) = 273.16 \sqrt[9]{1 - \frac{P}{395.2}}. \quad (36)$$

На внешней поверхности оболочки задаем теплообмен по «закону» Ньютона

$$\lambda \frac{\partial T}{\partial r} \Big|_{r=R_{\text{вн}}} = -\alpha (T_{\text{пов}} - T_{\text{ср}}). \quad (37)$$

Для центра сферы напишем условие симметрии, имеющее вид

$$\frac{\partial T}{\partial r} \Big|_{r=0} = 0. \quad (38)$$

Приведенная задача решается описанным выше методом, используя явную схему. Ее особенностью является зависимость температуры фазового перехода от давления $T_{\text{ф}} = T_{\text{ф}}(P)$. Наиболее простой способ учета этой зависимости заключается в том, чтобы оставить $T_{\text{ф}}$ неизменной до полного промерзания контрольного объема и изменить ее в зависимости от величины давления $P_{\text{в}}$ в жидкой фазе для определения условия промерзания следующего контрольного объема. Точность такого расчета увеличивается с уменьшением шага расчетной сетки.

Когда давление в жидкой фазе превышает прочность составной оболочки (состоящей из внешней и ледяной оболочек), происходит разрыв сплошности и расширение всей системы. Для учета этого разработана и реализована процедура перестройки сетки во время разрушения и расширения системы. Принимается, что после расширения вода должна занимать объем, соответствующий ненапряженному состоянию с плотностью $\rho_{\text{в}} = 1000 \text{ кг/м}^3$, а каждый контрольный объем, заполненный

льдом, увеличивается на величину, соответствующую плотности льда, равной $\rho_{\text{л}}=917$ кг/м³ (напомним, что масса контрольного объема остается постоянной).

С подвижной внешней оболочкой лед имеет возможность расширяться, а, следовательно, течь и разрушаться. Поведение компонент тензора напряжений описывается формулами (29) и (30). В ледяной прослойке в результате симметрии задачи имеют место только нормальные компоненты напряжений σ_{rr} , $\sigma_{\theta\theta}=\sigma_{\varphi\varphi}$. Компонента σ_{rr} принимает максимальное значение $P_{\text{в}}$ по абсолютной величине на внутренней поверхности ледяной оболочки, граничащей с водой, и монотонно падает до $P_{\text{вн}}$ на внешней поверхности. Она имеет все время отрицательную величину, что означает сжатие льда в радиальном направлении. Поведение компонент $\sigma_{\theta\theta}=\sigma_{\varphi\varphi}$ является более сложным. Так, при малой толщине ледяной прослойки они отрицательны и уменьшаются по абсолютной величине в направлении к внутренней граничной поверхности. По мере роста толщины оболочки $\sigma_{\theta\theta}$ и $\sigma_{\varphi\varphi}$ принимают положительные значения около внутренней ее поверхности. Таким образом, на внешней поверхности льда и вблизи нее оболочка в тангенциальном направлении сжата ($\sigma_{\theta\theta}=\sigma_{\varphi\varphi}<0$). У центра $\sigma_{\theta\theta}$ и $\sigma_{\varphi\varphi}$ имеют нулевые значения, а следовательно, и деформации в этих направлениях отсутствуют. Около внутренней поверхности льда напряжения увеличиваются и на самой поверхности принимают максимальные положительные значения. Это означает, что оболочка льда в данной области растянута.

При промораживании в системе увеличиваются напряжения и слой, состоящий из льда и внешней оболочки, достигнув критических значений напряжений, разрушается, что приводит к падению напряжений в системе. После этого весь описанный процесс повторяется снова. Так продолжается до полного вымерзания воды. Распределение температуры в теле носит монотонный характер, а в плоскости фазового перехода находится излом. При разрушении оболочки давление в материале падает, увеличивается температура фазового перехода и вода оказывается переохлажденной, что приводит к интенсивному фазовому переходу воды в лед. Поскольку выделение тепла идет интенсивно, температура в области кристаллизации повышается скачком. Расчеты показывают, что величина скачка температуры зависит от прочности оболочки. Чем она выше, тем больших напряжений достигает система вода–лед, а следовательно, меньшие значения принимает температура фазового перехода, что и приводит к большему скачку при разрушении оболочки.

Вывод. Представлен достаточно простой численный метод решения задач Стефана. Он позволяет моделировать многофронтные фазовые переходы, в том числе и многофронтные фазовые переходы различной природы (жидкость–газ, жидкость–твердое тело и твердое тело–газ), а также производить расчет задачи Стефана с неизвестной температурой фазового перехода. Используя его, можно описывать процессы, в которых существует зависимость температуры фазового перехода от давления. Данный метод относится к методам с выделением границы раздела фаз, однако, его программная реализация достаточно проста, что является безусловным преимуществом в сравнении с другими методами данного типа.

Приведен ряд задач, решенных данным способом. Вскрыты основные закономерности поведения изучаемых систем.

Обозначения. c – удельная теплоемкость, Дж/кг; ρ – плотность кг/м³; T – температура, К, t – время, с; x – координата, м; r – радиальная координата, м; λ – теплопроводность, Вт/(м·К); S – площадь поперечного сечения, м²; $Q_{\text{ф}}$ – теплота кристаллизации или теплота фазового перехода, тогда $Q_{\text{ф}}=Q_{\text{д}}+Q_{\text{исп}}$, Дж/кг; Δm – масса жидкости, перешедшей в лед, кг; $m_{\text{з}}$ – масса воды в контрольном объеме, кг; $\Delta m_{\text{в}}$ – масса

оставшейся жидкости, кг; ε – пористость; Q_v – теплота испарения (конденсации) воды (пара), Дж/кг; \vec{v} – скорость, м/с; Δh – малая величина длины в направлении, перпендикулярном к поверхности фазового перехода, м; $M=2\Delta h$; $v_{ш}$ – доля воды в порах; v_b – доля разложившейся резины; Q_d – теплота деструкции резины, Дж/кг; $Q_{исп}$ – теплота испарения жидких продуктов разложения, Дж/кг; Q_1 – теплота сублимации, Дж/кг; q – плотность теплового потока, Вт/м²; ε^* – степень черноты; σ – постоянная Стефана-Больцмана, Вт/(м²·К⁴); d – эффективный диаметр пор, м; j_p – поток пара, кг/(м²·с); T – температура границы фазового перехода лед-пар, К; m – масса молекулы воды, кг; k – постоянная Больцмана, Дж/К; u – смещения вдоль координаты r , м; σ_{rr} $\sigma_{\theta\theta}$ $\sigma_{\varphi\varphi}$ – компоненты тензора напряжения, Па; ν – коэффициент Пуассона; E – модуль упругости, Па; K – модуль объемного сжатия, Па; M_d – масса ледяной оболочки, кг; P – давление, Па; α – коэффициент теплообмена, Вт/(м²·К).

Индексы: ф – фазовый переход; в – вода; э – элемент; i – номер контрольного объема; ш – шина; п – пар; пов – поверхность; эф – эффективный; н – насыщенный; у – углеродный остаток; д – деструкция; с – скелет; вн – внешний; 0 – начальный; ср – среда; т.н – тепловая нагрузка.

Ссылки

- [1] Новый справочник химика и технолога. Процессы и аппараты химической технологии. СПб.: НПО «Профессионал». Ч. I. 2004, Ч. II. 2006.
- [2] Основы геофизиологии. Ч. 4. Динамическая геофизиология. Под. Ред. Э.Д. Ершова. М.: Из-во МГУ. 2001.
- [3] Полежаев Ю.В., Юревич Ф.Б. Тепловая защита. М. 1976.
- [4] Лыков А.В. Теория сушки. М.: Энергия, 1968.
- [5] Васильев Ф. П., Успенский А. Б. Разностный метод решения двухфазной задачи Стефана // ЖВМ и МФ. 1963. Т. 3. № 5. с. 874 – 886.
- [6] Будак Б. М., Васильев Ф. П., Успенский А. Б. Разностные методы решения некоторых краевых задач типа Стефана. В сб. «Численные методы в газовой динамике», Изд-во МГУ, 1965. Вып. IV. с. 139 – 182.
- [7] Будак Б. М., Гольдман Н. Л., Егорова А. Т., Успенский А. Б. Метод выпрямления фронтов для решения задач типа Стефана в многомерном случае. В сб. «Вычислительные методы и программирование», Изд-во МГУ, 1967. Вып. VIII. с. 103 – 120.
- [8] Самарский А. А., Моисеенко Б. Д. Экономичная схема сквозного счета для многомерной задачи Стефана // ЖВМ и МФ. 1965. Т. 5. № 5. с. 816 – 827.
- [9] Самарский А. А. Теория разностных схем. М.: Наука. 1989. 616 с.
- [10] Самарский А. А., Вабищевич П. Н. Вычислительная теплопередача. М.: Едиториал УРСС. 2003. 784 с.
- [11] Лыков А.В. Теория теплопроводности. М.: Высшая школа, 1967.
- [12] Самарский А.А. Теория разностных схем. М.: Наука. 1989.
- [13] Давидовский П.Н., Бровка Г.П. Тепло- и массоперенос в промерзающих торфяных системах. Мн.: Наука и техника. 1985.
- [14] Бровка Г.П., Дедюля И.В., Сычевский В.А. Моделирование теплового и влажностного режимов верхнего слоя торфяных почв. // ИФЖ. 2000. Т.73, №5. С. 999–1005.
- [15] Журавский Г.И., Сычевский В.А. Численный расчет парового термоллиза органических отходов // ИФЖ. 2003. Т. 76, № 6. С. 104 – 109.
- [16] Аристархов Д. В., Сычевский В. А. Паровой термоллиз резиновых отходов // Весці НАНБ. Сер. фіз.-тэхн. навук. 2002. № 1. С. 102 – 108.

- [17] Сычевский В.А., Павлюкевич Н. В., Васильев Л. Л. (мл.), Розин С. Математическое моделирование тепло- и массопереноса при испарении вещества из пористого тела в вакуум // ИФЖ. 2003. Т. 76, № 1. С. 17 – 24.
- [18] Pavlyukevich N.V., Gorelik G.E., Levdansky V.V., Leitsina V.G. and Rudin G.I. Physical Kinetics and Transfer Processes in Phase Transitions. New York, 1995.
- [19] Сычевский В.А. Расчет напряжений и деформаций в сферической области, заполненной водой, при ее замерзании. // ИФЖ. 2007. Т. 80, № 4. С. 173 – 1180.
- [20] Ландау Л. Д., Лифшиц Е. М. Теория упругости. М.: Наука. 1987. 248 с.
- [21] Ландау Л. Д., Лифшиц Е. М. Статистическая физика. М.: Наука. 1976. 584 с
- [22] Базаров И. П. Термодинамика. М.: Высшая школа. 1976. 447 с.
- [23] Чижов В. Е. О термодинамических свойствах и термических уравнениях состояния фаз льда высокого давления // ПМТФ. 1993. № 2. С. 113 – 123.